

■ Introducción

- La **respuesta en frecuencia** $H(\omega)$ de un filtro IIR es una *función racional*, es decir, la razón entre dos polinomios de grado finito en $e^{j\omega}$ de la forma,

$$H(\omega) = e^{-j\omega N_0} \frac{\sum_{k=0}^M b_k e^{-j\omega k}}{\sum_{k=1}^N a_k e^{-j\omega k}}$$

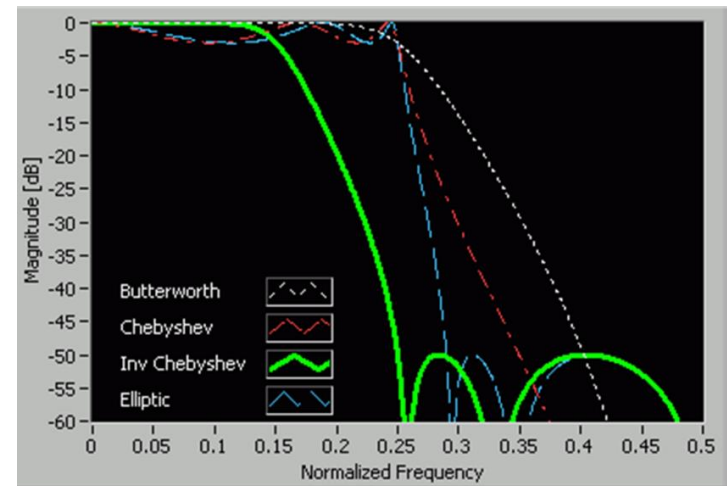
- donde:

N_0 unidades de desplazamiento de $h(n)$

a_k y b_k coeficientes del filtro

N es el orden del filtro y generalmente $N \geq M$.

$h(n) \neq 0$ para $N_0 \leq n \leq \infty$.

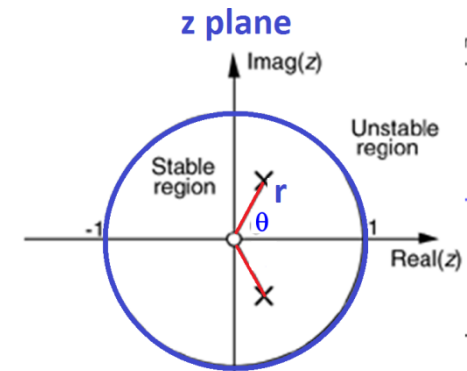
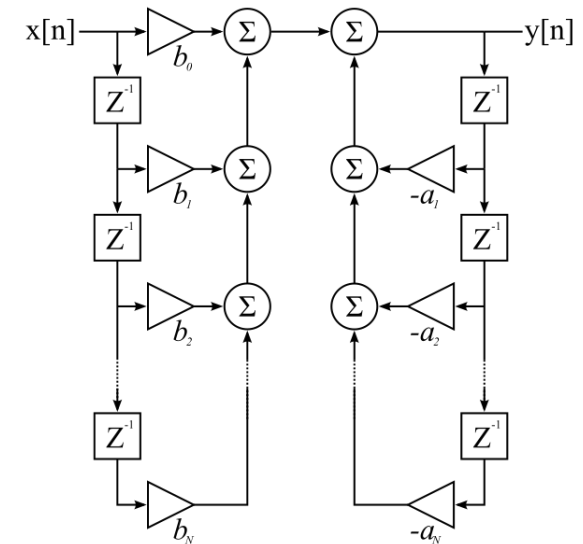


■ Introducción...

- La **función de transferencia** $H(z)$ de un filtro IIR es racional y está dada por:

$$H(z) = H(w)|_{e^{jw}=z} = z^{-N_0} \frac{\sum_{k=0}^M b_k z^{-k}}{\sum_{k=1}^N a_k z^{-k}}$$

- Los filtros IIR, a diferencia de los FIR, pueden ser inestables por la existencia de polos.

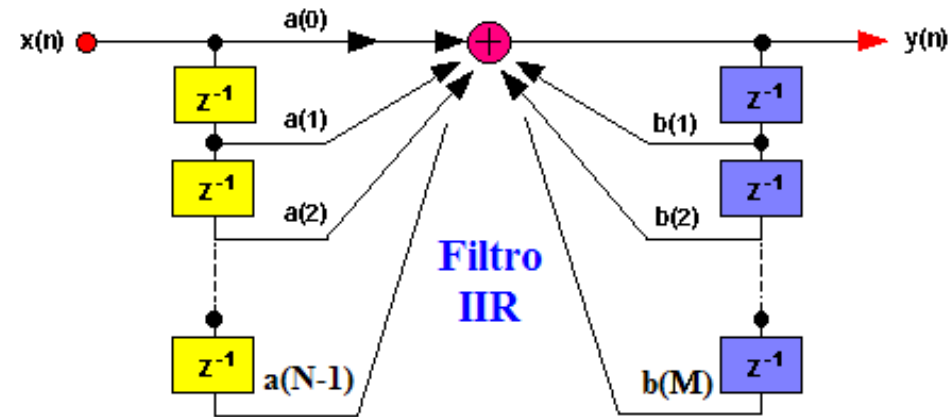


■ Introducción...

- El diseño de un filtro IIR busca determinar la función $h(n)$, $H(z)$, $H(w)$ o la **ecuación de diferencia** que mejor se aproxime a las especificaciones de diseño.
 - Se logra calculando los coeficientes a_k y b_k óptimos según un criterio establecido.
 - El orden del filtro N generalmente se fija desde un principio, pero también puede considerarse como un parámetro.

■ Características de Filtros IIR

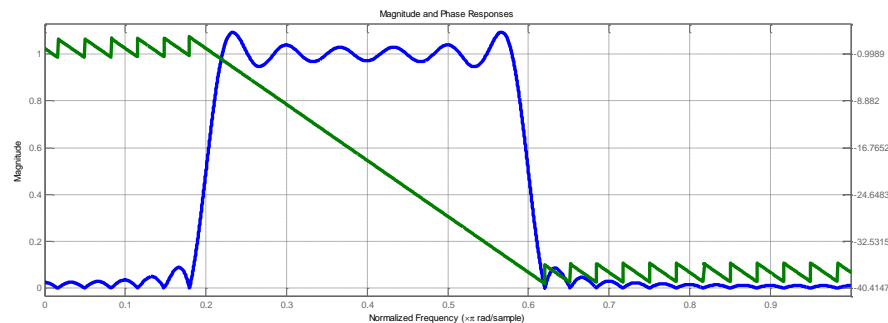
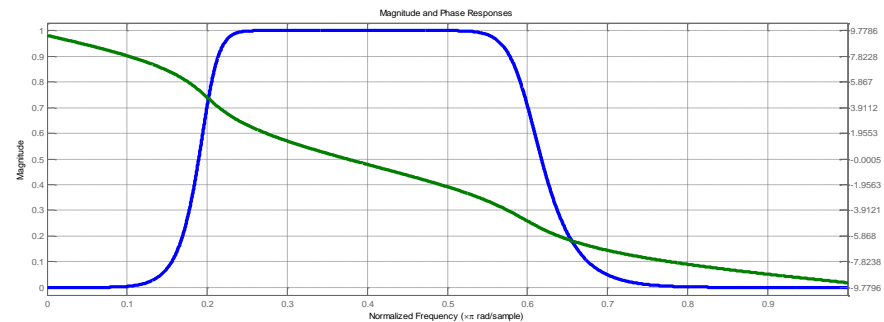
- No puede utilizarse la convolución para implementar filtros IIR
 - Se recurre a las ecuaciones de diferencia.
- Los filtros IIR emplean realimentación
 - Necesitan almacenar muestras de la salida para calcular un nuevo valor.



$$y(n) = \sum_{k=0}^{N-1} a(k)x(n-k) + \sum_{k=1}^M b(k)y(n-k)$$

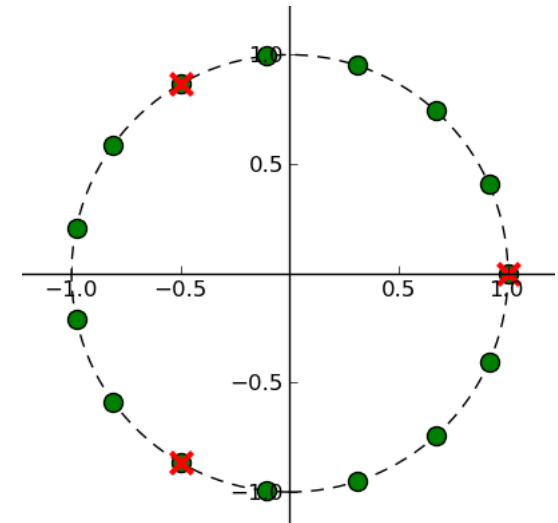
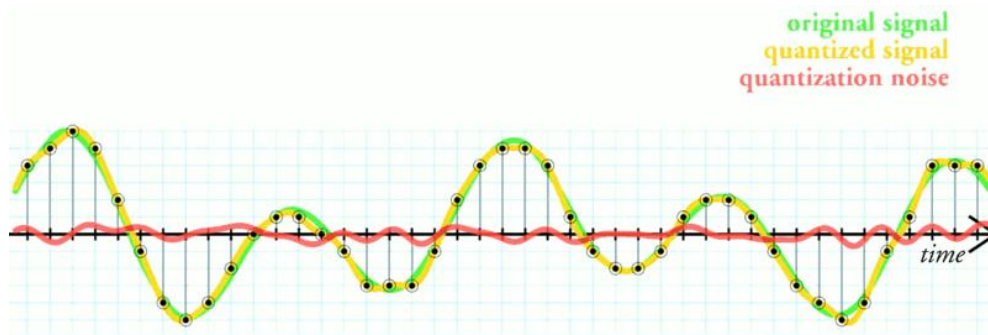
■ Características de Filtros IIR ...

- No es posible diseñar filtros IIR causales de **fase lineal**.
 - Para aproximar una fase lineal se puede utilizar la técnica de filtrado *forward-backward*, para compensar la fase.



■ Características de Filtros IIR ...

- El **ruido de la cuantización** en los coeficientes puede afectar severamente la respuesta y estabilidad del filtro.
 - Puede *distorsionar la posición* de los polos y desplazarlos cerca o sobre el círculo unitario del plano z .



■ Características de Filtros IIR...

- Los filtros IIR pueden alcanzar las especificaciones de diseño con ordenes relativamente bajos (4 a 6 polos)
- Los filtros IIR se obtienen comúnmente a partir de fórmulas de diseño en forma cerrada correspondientes a filtros clásicos.

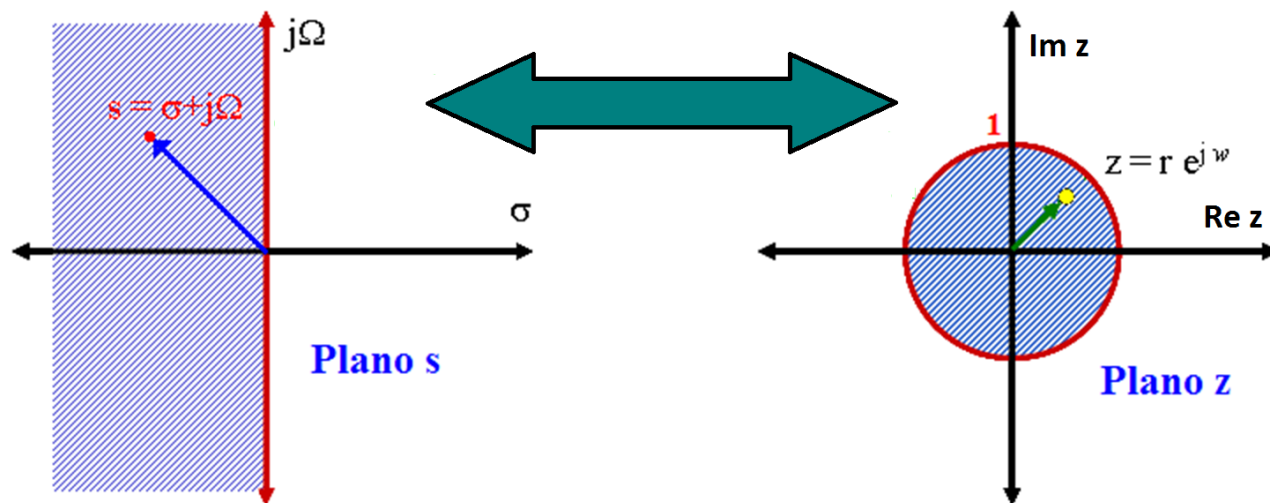
■ Características de Filtros IIR...

- Las características de ruido de un filtro IIR deben tenerse muy presentes durante la implementación, especialmente en aritmética de punto fijo.
 - La cuantización de los coeficientes degrada la respuesta del filtro (se aleja de la calculada con software de alta precisión).
 - La sensibilidad al ruido de redondeo puede ser amplificada por las mallas de realimentación en el filtro.

Diseño de Filtros IIR a partir de Filtros Analógicos

■ Introducción

- Técnica basada en convertir un filtro analógico $H(s)$ en un filtro digital $H(z)$.



■ Introducción

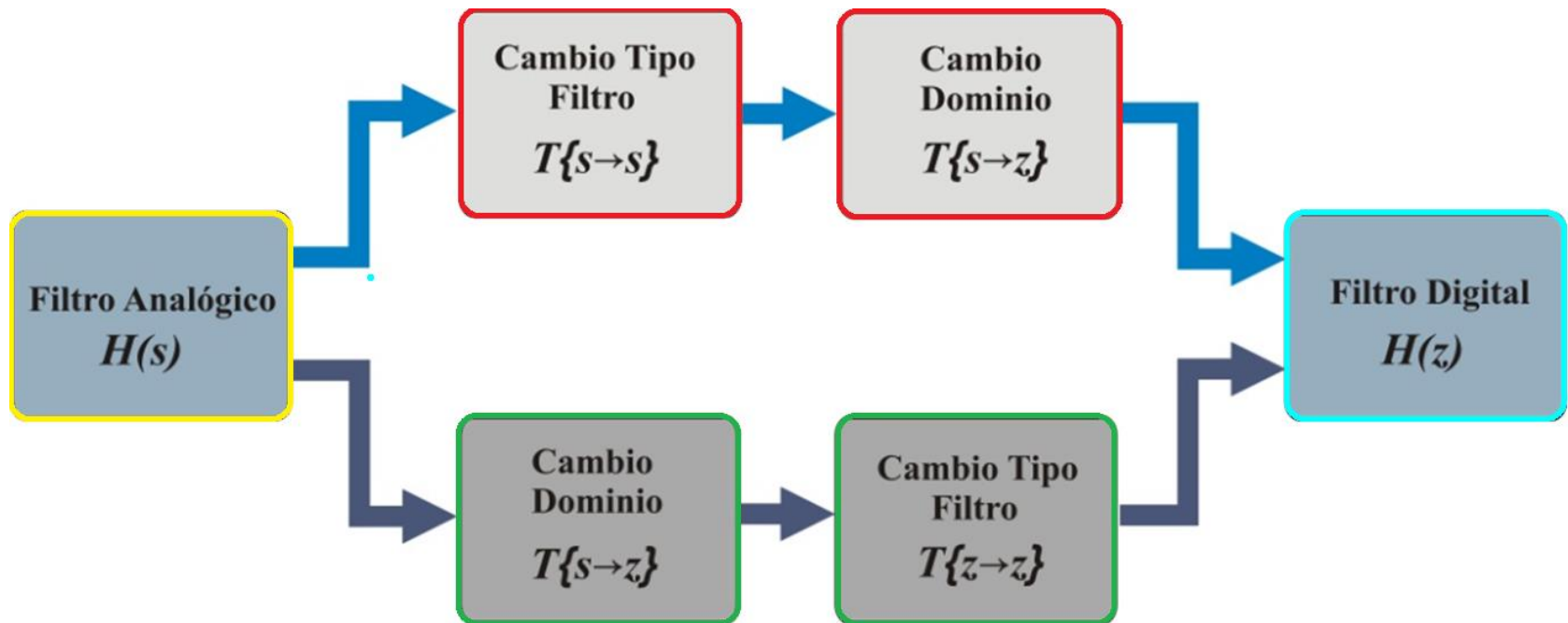
■ Ventajas:

- Amplia literatura sobre diseño filtros analógicos con fórmulas cerradas.
- Disponibilidad de tablas de transformaciones entre dominios analógicos y digital y tipos de filtros.
 - $T\{s \Rightarrow z\}$
 - $T\{s \Rightarrow s\}$
 - $T\{z \Rightarrow z\}$

Diseño de Filtros IIR a partir de Filtros Analógicos

■ Introducción ...

■ Modalidades de diseño



■ Introducción ...

- Técnica adecuada para obtener respuesta en frecuencia de amplitud casi constante en las bandas de paso y de rechazo.
- Técnica no-adecuada para respuestas en frecuencia de formas arbitrarias.
 - Las técnicas de optimización numérica si son adecuadas.
- Diseño con especificaciones de magnitud y fase arbitrarias es muy difícil.
 - No produce soluciones que cumplan todos los requerimientos de diseño.

■ Introducción ...

- Cada una de las representaciones de un filtro analógico conducen a métodos para convertirlo al dominio digital.
 - Respuesta Impulsional $h(t)$
 - Ecuación diferencial $y(t)$
 - Función de Transferencia $H(s)$
 - Respuesta en Frecuencia $H(\Omega)$

■ Representación de filtros analógicos

- Mediante la *función de transferencia* $H_a(s)$

$$H_a(s) = \int_{-\infty}^{\infty} h(t) e^{-st} dt$$

- ó

$$H_a(s) = \frac{\sum_{k=0}^M \beta_k s^k}{\sum_{k=0}^N \alpha_k s^k}$$

- donde α_k y β_k son los coeficientes del filtro.

Diseño de Filtros IIR a partir de Filtros Analógicos



■ Representación de filtros analógicos...

- Mediante la *Respuesta Impulsional* $h(t)$

$$h(t) = \frac{1}{2\pi j} \int_{\sigma-j\infty}^{\sigma+j\infty} H_a(s) e^{st} dt$$

- Mediante una *Ecuación Diferencial* Lineal con Coeficientes Constantes,

$$\sum_{k=0}^N \alpha_k \frac{\partial^k y(t)}{\partial t^k} = \sum_{k=0}^M \beta_k \frac{\partial^k x(t)}{\partial t^k}$$

donde $x(t)$ y $y(t)$ indican señal de entrada y de salida del filtro.

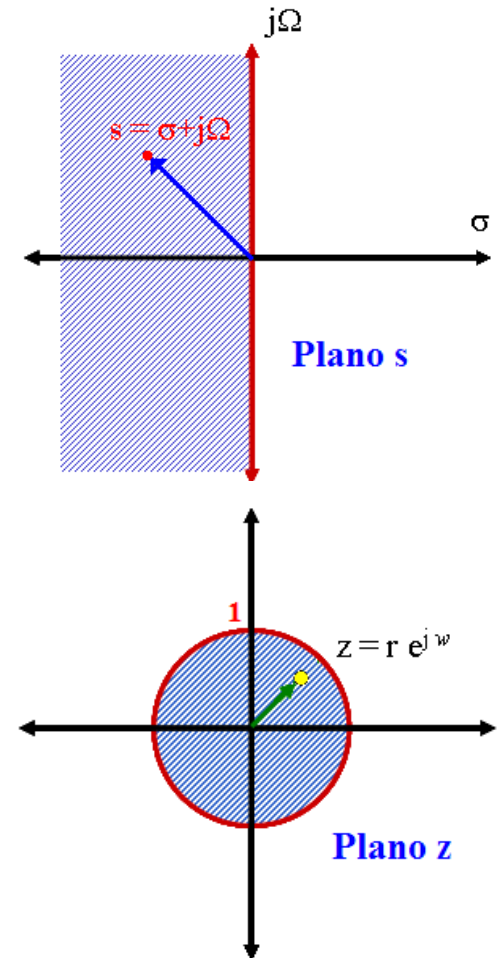


Diseño de Filtros IIR a partir de Filtros Analógicos

■ Procedimiento de Conversión Análogo-Digital

■ Conceptos Claves

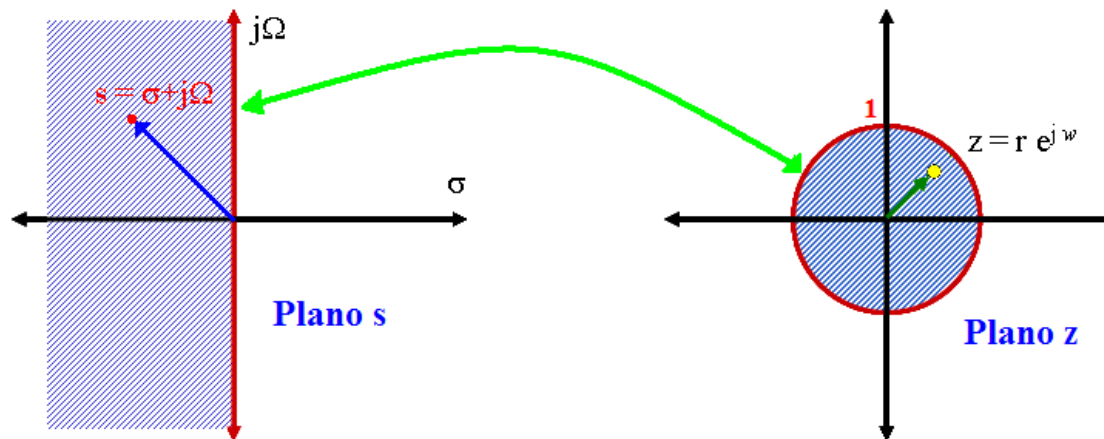
- Un sistema analógico $H(s)$ LTI es estable si todos sus polos yacen en la mitad izquierda del plano s .
- Un sistema discreto $H(z)$ LTI es estable si todos sus polos yacen dentro del círculo unitario del plano z .



■ Procedimiento de Conversión...

■ La técnica de conversión es efectiva si:

- El eje $j\Omega$ en el plano s se corresponde con la circunferencia unidad en el plano z .

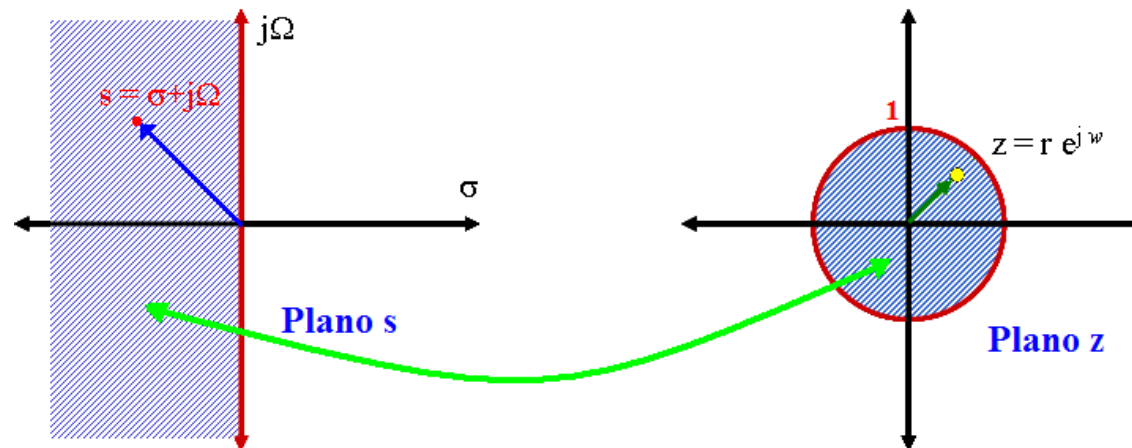


- Garantiza relación directa entre variables de frecuencia !!: $\Omega \Leftrightarrow \omega$.

■ Procedimiento de Conversión...

■ La técnica de conversión es efectiva si:

- El semiplano **izquierdo** del plano **s** se corresponde con el **interior** de la circunferencia en el plano **z**.

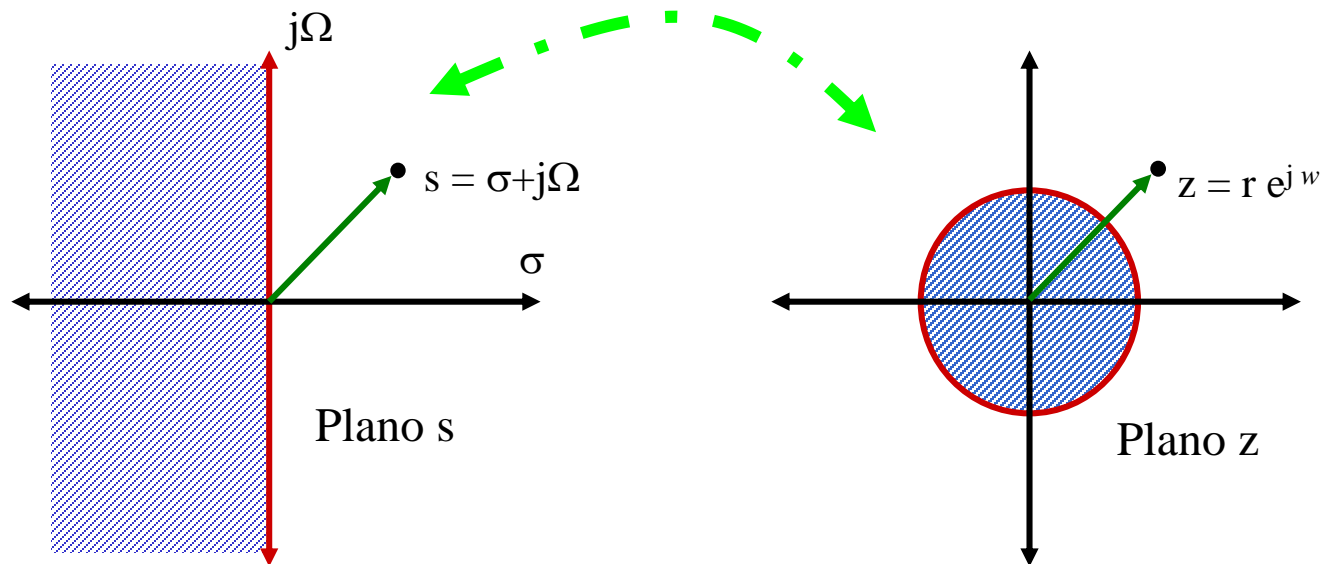


- Garantiza la estabilidad del filtro digital obtenido!!

■ Procedimiento de Conversión...

■ La técnica de conversión es efectiva si:

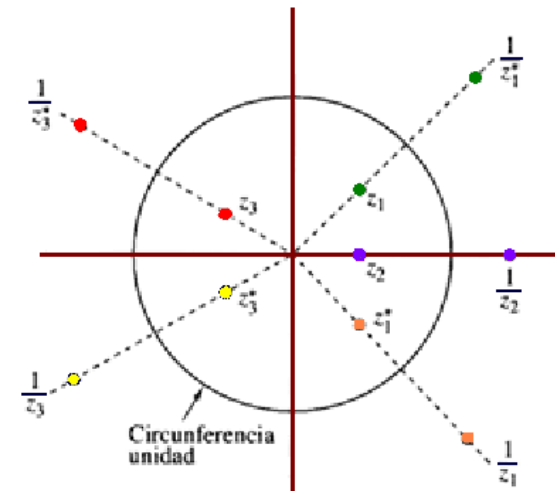
- El semiplano **derecho** del plano **s** se corresponde con el **exterior** de la circunferencia en el plano **z**.



■ Procedimiento de Conversión...

- Los filtros IIR estables y físicamente realizables, no pueden tener fase lineal, puesto que la condición de fase lineal establece que:

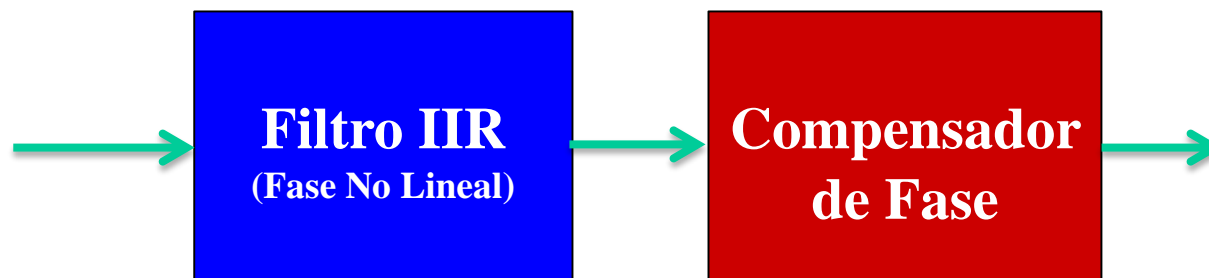
$$H(z) = \pm z^{-N} H(z^{-1})$$



- **Implicación:** por cada polo dentro de la circunferencia hay un polo especular por fuera.

■ Procedimiento de Conversión...

- Omitiendo la restricción de realizabilidad física, computacionalmente es posible, en principio, obtener un filtro IIR de fase lineal.
 - Este método presenta un costo de cómputo alto.
 - No proporciona ventajas sobre los filtros FIR de fase lineal.



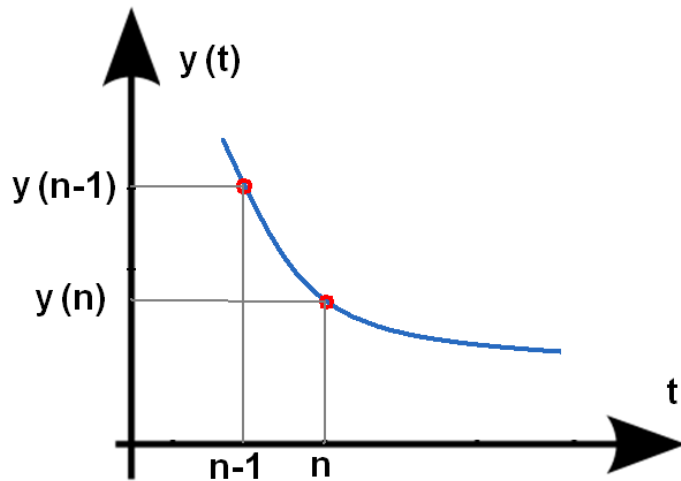
■ Observaciones

- En el diseño de filtros IIR se especifican las características del filtro sólo para $H(\omega)$, y se aceptan las características de $\varphi(\omega)$ obtenidas.
- $H(\omega)$ y $\varphi(\omega)$ en un filtro causal son interdependientes y no se pueden especificar independientemente.
- Dada $H(\omega)$ (parte real), su $\varphi(\omega)$ (parte imaginaria) se determina a través de la *transformada de Hilbert discreta*.



■ Procedimiento

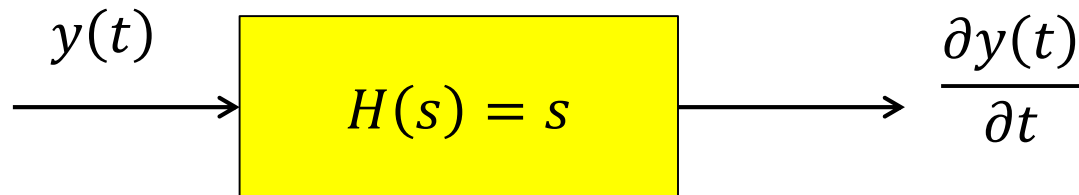
- Busca aproximar la ecuación diferencial por una ecuación en diferencias equivalente.
- La derivada en el tiempo $t = nT$, se sustituye por la *diferencia hacia atrás*:



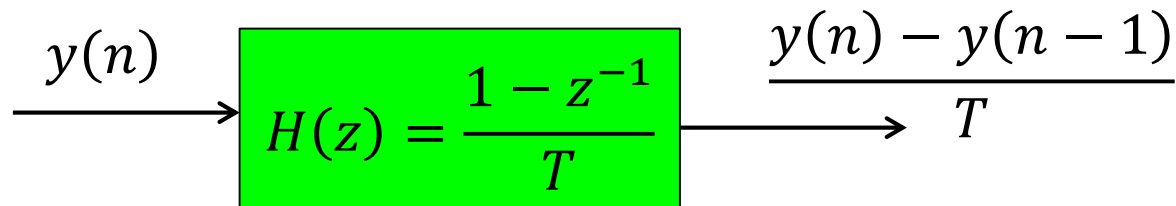
$$\left. \frac{\partial y(t)}{\partial t} \right|_{t=nT} = \frac{y(nT) - y(nT - T)}{T} = \frac{y(n) - y(n-1)}{T}$$

■ Procedimiento...

- La parte analógica es un derivador:



- La parte discreta es un diferenciador:



- Por lo tanto, la transformación queda determinada por:

$$s = \frac{1 - z^{-1}}{T}$$

■ Procedimiento...

- Se deduce que para la k – ésima derivada de $y(t)$ resulta la relación:

$$s^k = \left(\frac{1 - z^{-1}}{T} \right)^k$$

- Para el filtro analógico con función de transferencia $H_a(s)$ caracterizado por la ecuación diferencial,

$$\sum_{k=0}^N \alpha_k \frac{\partial^k y(t)}{\partial t^k} = \sum_{k=0}^M \beta_k \frac{\partial^k x(t)}{\partial t^k}$$

La función $H(z)$ del filtro IIR digital se obtiene al aplicar,

$$H(z) = H_a(s) \Big|_{s=(1-z^{-1})/T}$$

■ Correspondencia plano $s \leftrightarrow$ plano z

- La relación entre s y z obtenida anteriormente puede reescribirse como,

$$z = \frac{1}{1 - sT}$$

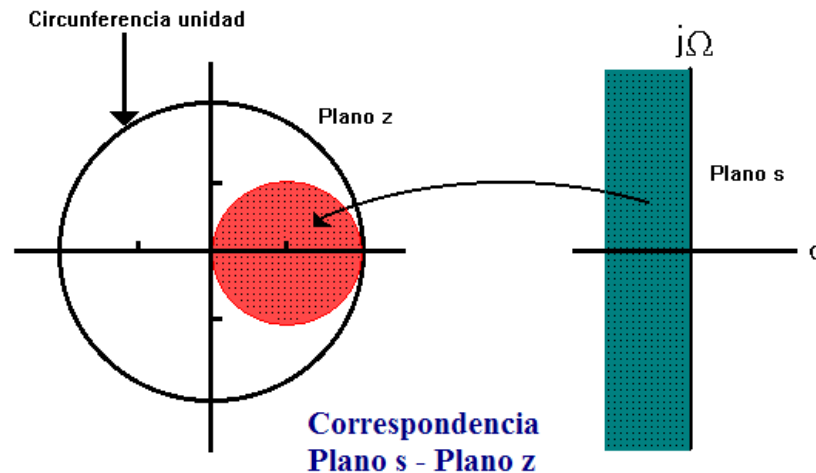
con $s = j\Omega$ se obtiene:

$$z = \frac{1}{1 + \Omega^2 T^2} + j \frac{\Omega T}{1 + \Omega^2 T^2}$$

Filtros IIR: Aproximación de Derivadas

■ Correspondencia plano $s \leftrightarrow$ plano z

- Cuando Ω varía desde $-\infty$ hasta $+\infty$,
 - z varía dentro de un círculo de radio $\frac{1}{2}$ con centro en $\frac{1}{2}$.



- Correspondencia estable y restringida a filtros paso-bajo y paso-banda con frecuencias resonantes relativamente pequeñas.
 - No es posible convertir un paso-alto analógico en uno paso-alto digital.

■ Ejemplo

- Convertir el filtro **paso-banda** analógico con función de transferencia,

$$H_a(s) = \frac{1}{(s + 0.1)^2 + 9}$$

a un filtro IIR digital usando la técnica de Aproximación de Derivadas.

■ Solución

- Utilizando la sustitución $s^k = \left(\frac{1-z^{-1}}{T}\right)^k$ en $H(s)$ se obtiene,

$$H(z) = \frac{1}{\left(\frac{1-z^{-1}}{T} + 0.1\right)^2 + 9} = \frac{T^2 / (1 + 0.2T + 9.01T^2)}{1 - \frac{2(1 + 0.1T)}{1 + 0.2T + 9.01T^2} z^{-1} + \frac{1}{1 + 0.2T + 9.01T^2} z^{-2}}$$

- $H(z)$ tiene forma de un **resonador** si T se selecciona suficientemente pequeño ($T \leq 0.1$) \rightarrow polos estén cerca de la circunferencia unidad.
 - Si $T = 0.1$, los polos son: $z_{p_{1,2}} = 0.91 \pm j0.27 = 0.95e^{\pm j16.54^\circ}$
 - Si $T = 0.01$, los polos son: $z_{p_{1,2}} = 0.99 \pm j0.03 = 0.99e^{\pm j1.72^\circ}$

Filtros IIR: Aproximación de Derivadas

■ Solución ...

Aproximacion_Derivada_IIR.m

```
T= 0.01; T2=(T^2); D=(1+0.2*T+9.01*T2);
```

```
%Polinomio Numerador
```

```
b0= T2/D ; b1=0; b2=0;
```

```
b= [b0 b1 b2];
```

```
%Polinomio Denominador
```

```
a0=1; a1=-2*(1+0.1*T)/D; a2=1/D;
```

```
a=[a0 a1 a2];
```

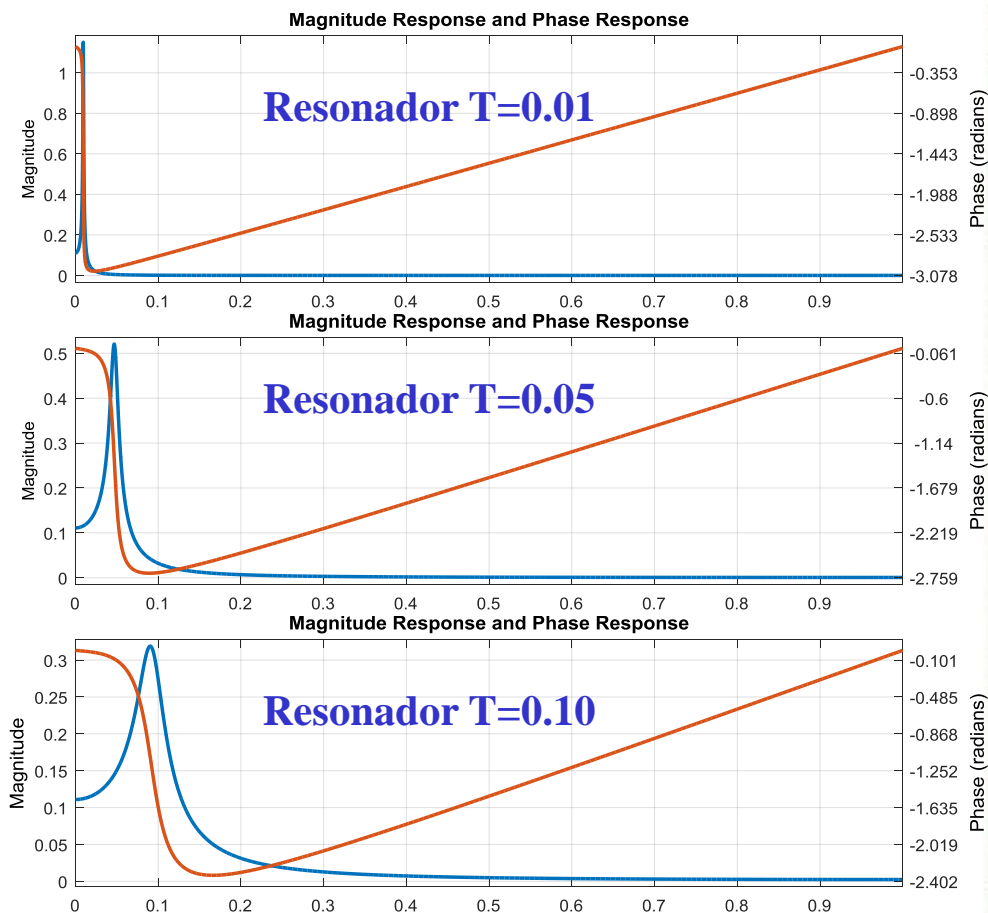
```
%Polos
```

```
AngPolos=angle(roots(a))*180/pi
```

```
MagPolos=abs(roots(a))
```

```
%Graficación
```

```
fvtool(b,a)
```



Diseño de Filtros IIR mediante Invarianza Impulsional

■ Introducción

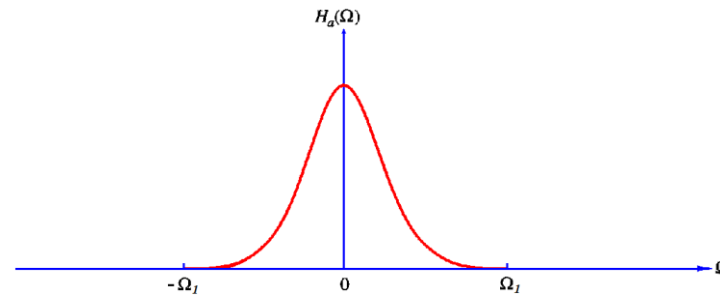
- Consiste en diseñar un filtro IIR digital con un $h(n)$ que sea la versión muestreada de $h_a(t)$ del filtro analógico.



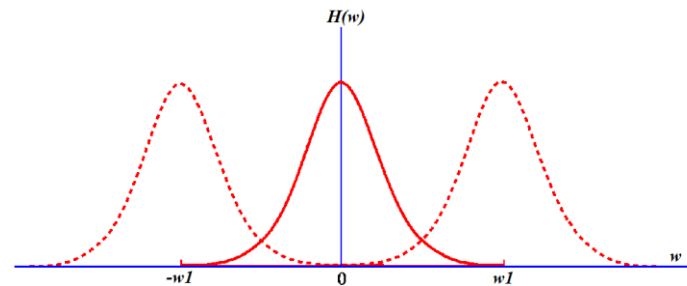
- Es decir, $h(n) = h_a(t = nT)$ donde T es el periodo de muestreo.

■ Introducción

- Cuando una señal análoga $h_a(t)$ con espectro $H_a(\Omega)$ se muestrea a $F_s = 1/T$:



- El espectro de la señal muestreada $h(n) = h_a(nT)$ es la **repetición** del espectro $H_a(\Omega)$ escalado por F_s y con periodo F_s :

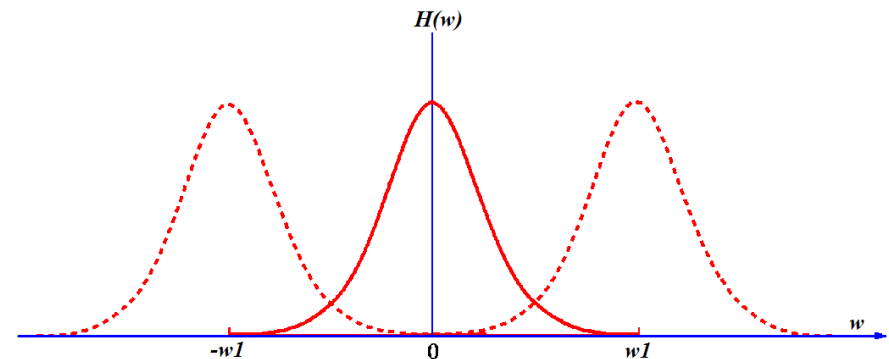


■ Introducción ...

- El espectro $H(\omega)$ de la señal muestreada $h(n)$ queda determinado por:

$$H(\omega) = F_s \sum_{k=-\infty}^{\infty} H_a[(\omega - 2\pi k)F_s] \quad \text{ó}$$

$$H(\Omega T) = \frac{1}{T} \sum_{k=-\infty}^{\infty} H_a\left(\Omega - \frac{2\pi k}{T}\right) \quad \text{con } \Omega = \frac{\omega}{T}$$



■ Introducción...

- $H(\omega)$ tendrá las características de respuesta en frecuencia del correspondiente filtro analógico si T es suficientemente pequeño para evitar al máximo el **aliasing**.
- El **aliasing** ocurre si F_s es menor que dos veces la frecuencia más alta contenida en $X_a(F)$.
- Método inapropiado para el diseño de filtros paso-bajo, por el traslape de las bandas en alta frecuencia.

■ Correspondencia plano s y plano z

- La correspondencia entre los planos s y z que *genera el proceso de muestreo* se obtiene a partir de la generalización de la relación entre la T. z de $h(n)$ y la T. s de $h_a(t)$, dada por $z = e^{sT}$

$$H(z)\big|_{z=e^{sT}} = \frac{1}{T} \sum_{k=-\infty}^{\infty} H_a\left(s - j\frac{2\pi k}{T}\right) \quad \text{donde:}$$

$$H(z) = \sum_{n=0}^{\infty} h(n)z^{-n} \quad y \quad H(z)\big|_{z=e^{sT}} = \sum_{n=0}^{\infty} h(n)e^{-sTn}$$



■ Correspondencia plano $s \leftrightarrow$ plano z

- Al sustituir $s = \sigma + j\Omega$ y $z = re^{jw}$ en $z = e^{sT}$ llega a:

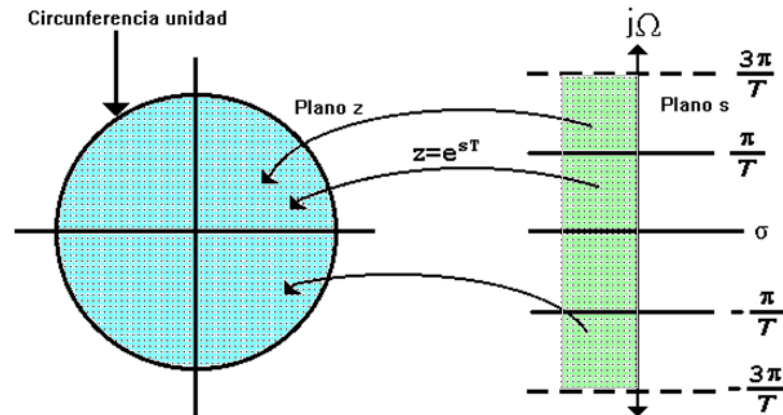
$$re^{jw} = e^{\sigma T} e^{j\Omega T} \quad \text{donde} \quad r = e^{\sigma T} \quad \text{y} \quad w = \Omega T$$

- Para $\sigma < 0$ se tiene $0 < r < 1$
 - Semiplano izquierdo de $s \Rightarrow$ interior de la circunferencia unidad en el plano z .
- Para $\sigma > 0$ se tiene $r > 1$.
 - Semiplano derecho de $s \Rightarrow$ exterior de la circunferencia unidad en el plano z .
- Cuando $\sigma = 0$ se tiene $r = 1$.
 - Eje $j\Omega \Rightarrow$ circunferencia unidad en el plano z .

Diseño de Filtros IIR mediante Invarianza Impulsional

■ Correspondencia plano $s \leftrightarrow$ plano z ...

- La correspondencia del eje $j\Omega$ con el círculo unitario **no es uno a uno**.



- Al intervalo $-\pi \leq w \leq \pi$ le corresponde $(2k - 1) \pi / T \leq \Omega \leq (2k + 1) \pi / T$ cuando k es un entero..
- La correspondencia entre frecuencias Ω y w **no** es **inyectiva**, lo que refleja el efecto de aliasing debido al muestreo.

■ Método de Diseño

- De la expresión $z = e^{sT}$ se obtiene $s = (\ln z)/T$ la cual no es muy conveniente para obtener la función $H(z)$
- Considerando el caso en que todos los polos son **distintos**, por expansión en fracciones parciales:

$$H_a(s) = \sum_{k=1}^N \frac{c_k}{s - p_k}$$

- Al aplicar la transformada inversa de Laplace, se llega a:

$$h_a(t) = \sum_{k=1}^N c_k e^{p_k t} , \quad t \geq 0$$

■ Método de Diseño...

- Al muestrear $h_a(t)$ periódicamente en $t = nT$, se llega a:

$$h(n) = h_a(t) = \sum_{k=1}^N c_k e^{p_k nT}, \quad n \geq 0$$

- Aplicando Transformada z,

$$H(z) = \sum_{n=0}^{\infty} h(n) z^{-n} = \sum_{k=1}^N c_k \sum_{n=0}^{\infty} \left(e^{p_k T} z^{-1} \right)^n$$

- Si $p_k < 0$, la sumatoria interna converge a,

$$\sum_{n=0}^{\infty} \left(e^{p_k T} z^{-1} \right)^n = \frac{1}{1 - e^{p_k T} z^{-1}}$$

■ Método de diseño...

- Por lo tanto, el filtro digital es:

$$H(z) = \sum_{k=1}^N \frac{c_k}{1 - e^{p_k T} z^{-1}}$$

■ Observaciones:

- Los polos del filtro digital se localizan en $z_k = e^{p_k T}$, $k = 1, 2, \dots, N$ y se corresponden con los polos del plano s .
- Los ceros del filtro no satisfacen esta relación.
- El método **no se define** mediante la simple correspondencia de puntos dado por $z = e^{sT}$.

■ **Ejemplo.** Convierta el filtro analógico dado, en un filtro IIR digital por el método de Invarianza Impulsional.

$$H_a(s) = \frac{s + 0.1}{(s + 0.1)^2 + 9}$$

■ Solución

- El filtro $H_a(s)$ tiene :
 - Un cero real en $s = -0.1$
 - Dos polos complejos conjugados en $p_k = -0.1 \pm j3$.

■ Solución...

- $H(z)$ se determina directamente a partir de la expansión en fracciones parciales de $H_a(s)$:

$$H_a(s) = \frac{1/2}{s + 0.1 - j3} + \frac{1/2}{s + 0.1 + j3}$$

- Sustituyendo polos:

$$H(z) = \frac{1/2}{1 - e^{-0.1T} e^{j3T} z^{-1}} + \frac{1/2}{1 - e^{-0.1T} e^{-j3T} z^{-1}} = \frac{1 - (e^{-0.1T} \cos 3T) z^{-1}}{1 - (2e^{-0.1T} \cos 3T) z^{-1} + e^{-0.2T} z^{-1}}$$

Diseño de Filtros IIR mediante Invarianza Impulsional

■ Solución...

invarianza_Impulso_IRR.m

$T = 0.01$; $D = \exp(-0.1 \cdot T) \cdot \cos(3 \cdot T)$;

%Polinomio Numerador

$b_0 = 1$; $b_1 = -D$; $b_2 = 0$;

$b = [b_0 \ b_1 \ b_2]$;

%Polinomio Denominador

$a_0 = 1$; $a_1 = -2 \cdot D$; $a_2 = \exp(-0.2 \cdot T)$;

$a = [a_0 \ a_1 \ a_2]$;

%Polos

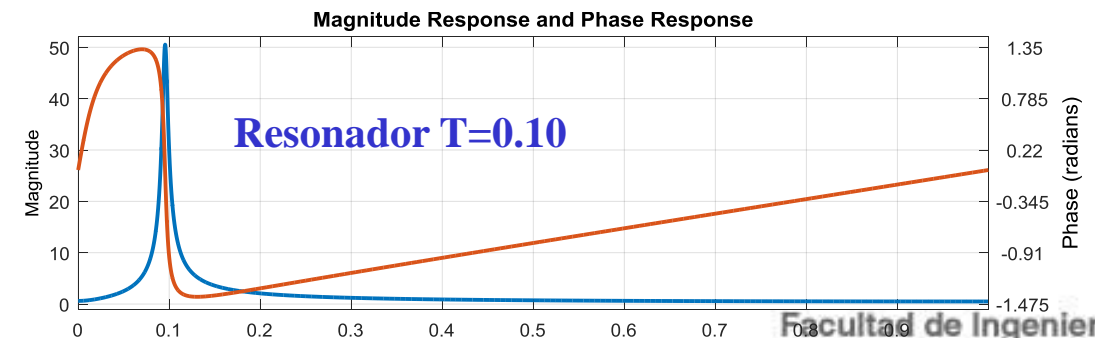
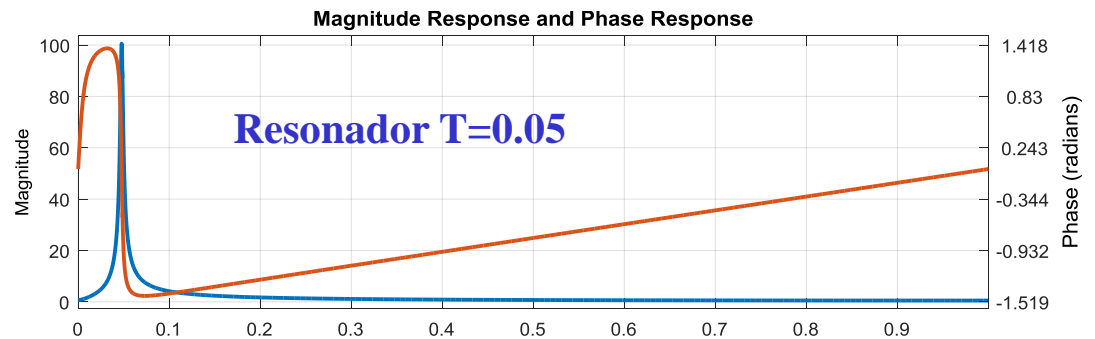
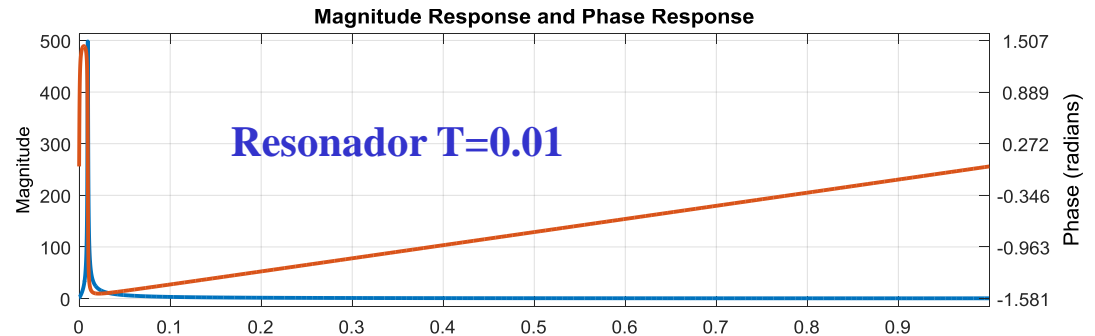
$\text{polos} = \text{roots}(a)$

$\text{AngPolos} = \text{angle}(\text{polos}) \cdot 180 / \pi$

$\text{MagPolos} = \text{abs}(\text{polos})$

%freqz(b,a)

fvtool(b,a)



■ Solución...

- $H(z)$ tiene forma de un *resonador* si T se selecciona suficientemente pequeño ($T \leq 0.1$) \rightarrow polos estén cerca de la circunferencia unidad.
 - Si $T = 0.1$, los polos son: $z_{p_{1,2}} = 0.95 \pm j0.29 = 0.99e^{\pm j17.19^\circ}$
 - Si $T = 0.01$, los polos son: $z_{p_{1,2}} = 0.99 \pm j0.03 = 0.99e^{\pm j1.72^\circ}$

■ Observaciones

- Valores pequeños de T minimizan el efecto de aliasing.
- Debido al aliasing, el método de invarianza impulsional es apropiado para el diseño de filtros paso-bajo y paso-banda.

■ Introducción

- Método que hace corresponder los polos y los ceros de $H_a(s)$ directamente con polos y ceros de $H(z)$
- La transformación hace corresponder a cada factor $(s - a)$ el factor $(1 - e^{aT} z^{-1})$, es decir,

$$(s - a) = (1 - e^{aT} z^{-1})$$

■ Introducción ...

- Por consiguiente, para un filtro analógico con función de transferencia expresada en factores,

$$H_a(s) = \frac{\prod_{k=1}^M [s - c_k]}{\prod_{k=1}^N [s - p_k]}$$

- la función de transferencia del filtro digital se obtiene como,

$$H(z) = \frac{\prod_{k=1}^M [1 - e^{c_k T} z^{-1}]}{\prod_{k=1}^N [1 - e^{p_k T} z^{-1}]}$$

Diseño de Filtros IIR: Transformación z Adaptada



■ Observaciones

- Los **polos** obtenidos son **idénticos** a los **polos** obtenidos con el método de **invarianza impulsional**.
- Los **ceros** son **diferentes**
- T debe escogerse bastante **pequeño** para producir polos y ceros en posiciones equivalentes en el plano z (y evitar el aliasing).



■ Ejemplo

- Convierta el filtro analógico dado, en un filtro IIR digital por el método de **Transformación z adaptada**.

$$H_a(s) = \frac{s + 0.1}{(s + 0.1)^2 + 9}$$

■ Solución

- El filtro $H_a(s)$ tiene :
 - Un cero real en $s = -0.1$
 - Dos polos complejos conjugados en $p_k = -0.1 \pm j3$.

■ Solución ...

- Reescribiendo $H_a(s)$ en factores

$$H_a(s) = \frac{s + 0.1}{(s + 0.1 - j3)(s + 0.1 + j3)}$$

- $H(z)$ se obtiene al reemplazar cada factor por

$$(s - a) = (1 - e^{aT} z^{-1})$$

- Por lo tanto,

$$H(z) = \frac{(1 - e^{-0.1T} z^{-1})}{(1 - e^{(-0.1+3j)T} z^{-1})(1 - e^{(-0.1-3j)T} z^{-1})}$$

■ Solución

Transformacion_zAdaptada.m

$T = 0.01$; $D = \exp(-0.1 \cdot T) \cdot \cos(3 \cdot T)$;

%Polinomio Numerador

$b_0 = 1$; $b_1 = -D$; $b_2 = 0$;

$b = [b_0 \ b_1 \ b_2]$;

%Polinomio Denominador

$a_0 = 1$; $a_1 = -2 \cdot D \cdot \cos(3 \cdot T)$; $a_2 = \exp(-0.2 \cdot T)$;

$a = [a_0 \ a_1 \ a_2]$;

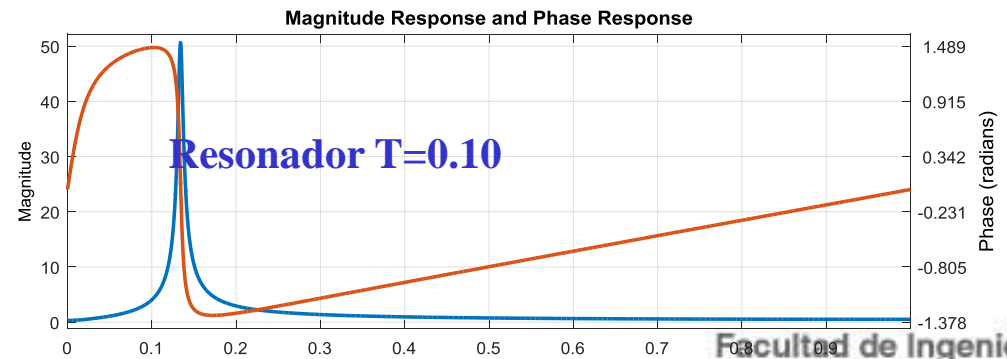
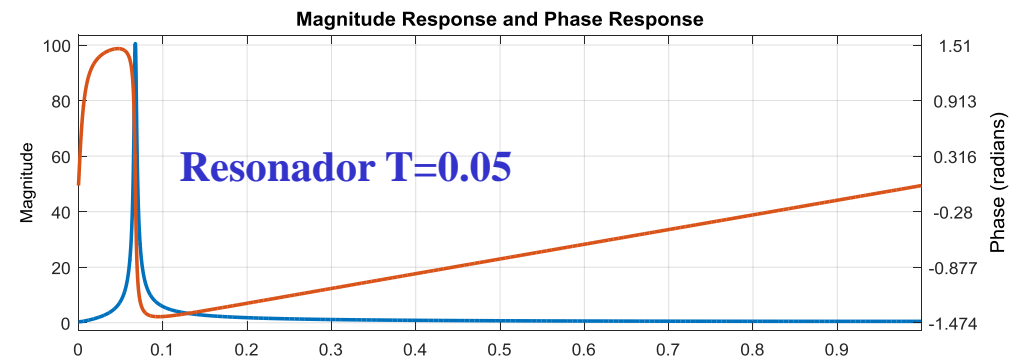
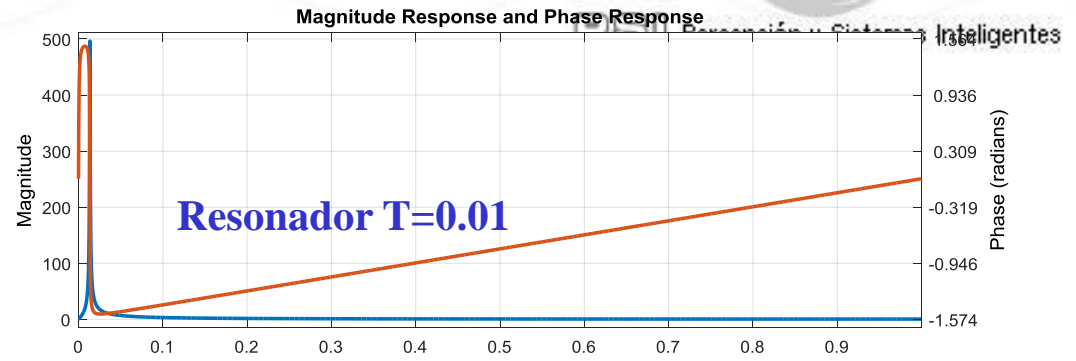
%Polos

$\text{polos} = \text{roots}(a)$

$\text{AngPolos} = \text{angle}(\text{polos}) \cdot 180/\pi$

$\text{MagPolos} = \text{abs}(\text{polos})$

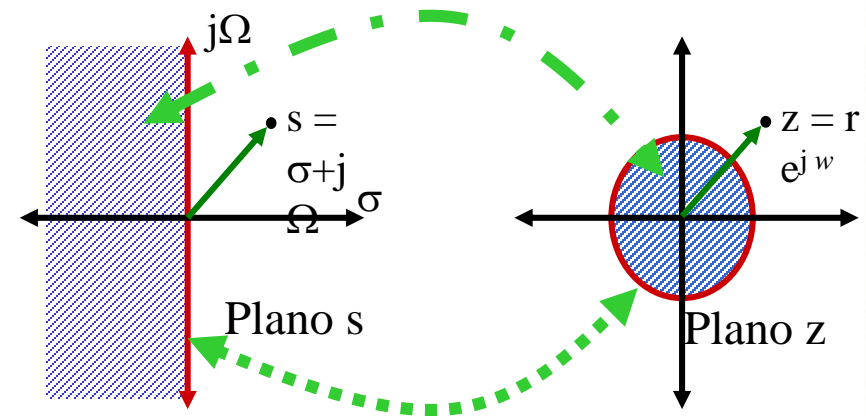
$\text{fvtool}(b,a)$



Diseño de Filtros IIR: Transformación Bilineal

■ Introducción

- Transforma el eje $j\Omega$ en la circunferencia unidad **sin solapamientos** de frecuencias.
- Semiplano **izquierdo** \rightarrow **interior** de la circunferencia unidad.
- Semiplano **derecho** \rightarrow **exterior** de la circunferencia unidad.
- La transformación bilineal permite **diseñar todo** tipo de filtros.

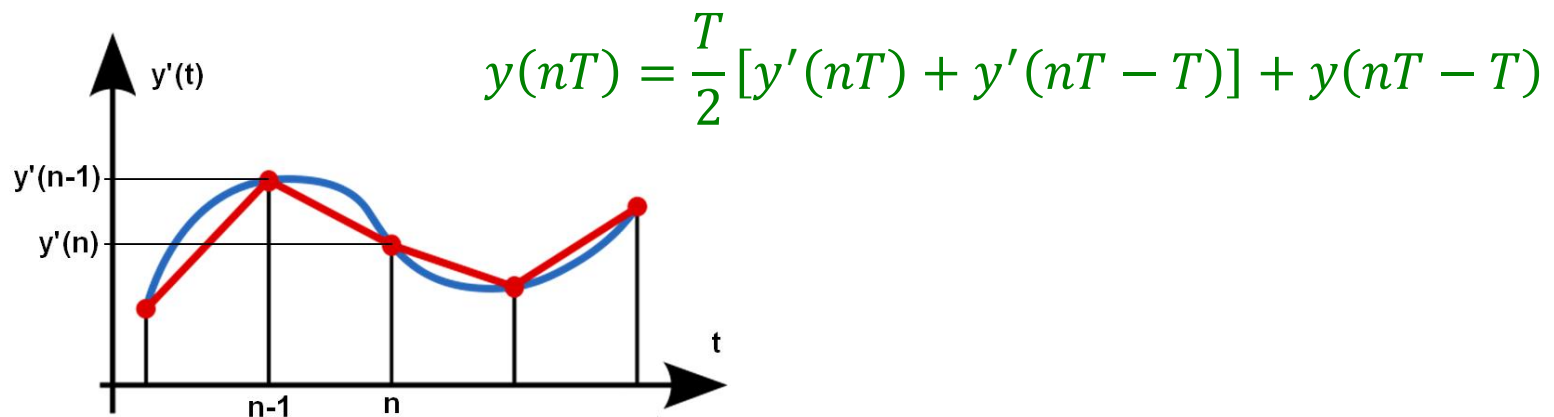


■ Deducción

- La transformación bilineal se puede ligar a la fórmula trapezoidal.
- Al integrar una derivada

$$y(t) = \int_{t_0}^t y'(\tau) d\tau + y(t_0)$$

- y aproximarla por la fórmula trapezoidal en $t = nT$ y $t_0 = nT - T$, se obtiene,



■ Deducción...

- La función de transferencia del filtro lineal analógico de orden 1, está dada por:

$$H(s) = \frac{b}{s + a}$$

- Tiene una ecuación diferencial

$$y'(t) + a y(t) = b x(t)$$

- Al evaluarla en $t = nT$, se obtiene:

$$y'(nT) = -a y(nT) + b x(nT)$$

■ Deducción...

- Sustituyendo $y'(nT)$ en la **expresión de la derivada** se llega a:

$$\left(1 + \frac{aT}{2}\right)y(n) - \left(1 - \frac{aT}{2}\right)y(n-1) = \frac{bT}{2}[x(n) + x(n-1)]$$

cuya transformada z es:

$$\left(1 + \frac{aT}{2}\right)Y(z) - \left(1 - \frac{aT}{2}\right)z^{-1}Y(z) = \frac{bT}{2}X(z)[1 + z^{-1}]$$

■ Deducción...

- Y su función de transferencia discreta es,

$$H(z) = \frac{b}{\frac{2}{T} \left(\frac{1 - z^{-1}}{1 + z^{-1}} \right) + a}$$

- Si se compara con la del filtro analógico,

$$H(s) = \frac{b}{s + a}$$

- Se deduce la correspondencia denominada **transformación bilineal**:

$$s = \frac{2}{T} \left(\frac{1 - z^{-1}}{1 + z^{-1}} \right)$$

■ Correspondencia plano $s \leftrightarrow$ plano z

- Con $z = r e^{jw}$ y $s = \sigma + j\Omega$, la transformación bilineal puede escribirse como:

$$s = \frac{2}{T} \left(\frac{z - 1}{z + 1} \right) = \frac{2}{T} \left(\frac{r^2 - 1}{1 + r^2 + 2 r \cos w} + j \frac{2 r \sen w}{1 + r^2 + 2 r \cos w} \right)$$

- De donde :

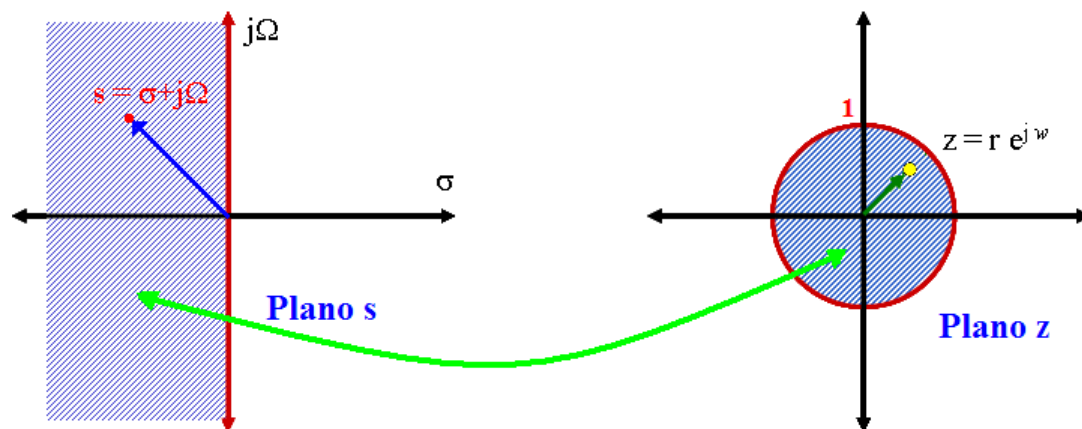
$$\sigma = \frac{2}{T} \left(\frac{r^2 - 1}{1 + r^2 + 2 r \cos w} \right)$$
$$\Omega = \frac{2}{T} \left(\frac{2 r \sen w}{1 + r^2 + 2 r \cos w} \right)$$

■ Correspondencia planos $s \leftrightarrow z \dots$

■ $r < 1 \Rightarrow \sigma < 0$

$$\sigma = \frac{2}{T} \left(\frac{r^2 - 1}{1 + r^2 + 2 r \cos w} \right)$$

- semiplano **izquierdo** en s se corresponde con el **interior** de la circunferencia unitaria en z .



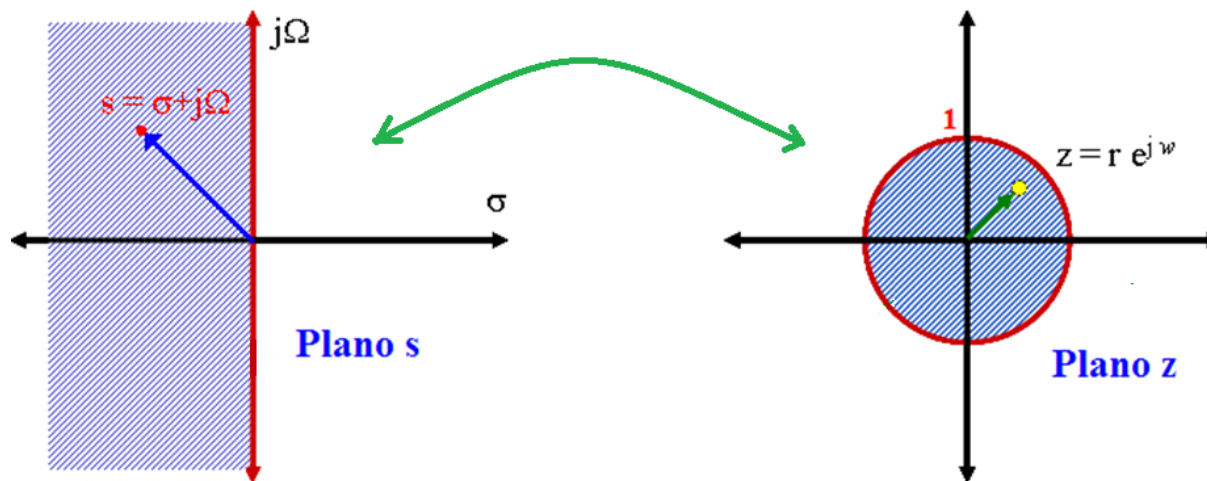
Diseño de Filtros IIR: Transformación Bilineal

■ Correspondencia plano $s \leftrightarrow$ plano z ...

■ $r > 1 \Rightarrow \sigma > 0$

$$\sigma = \frac{2}{T} \left(\frac{r^2 - 1}{1 + r^2 + 2r \cos w} \right)$$

- semiplano **derecho** en s se corresponde con el **exterior** de la circunferencia unitaria en z .



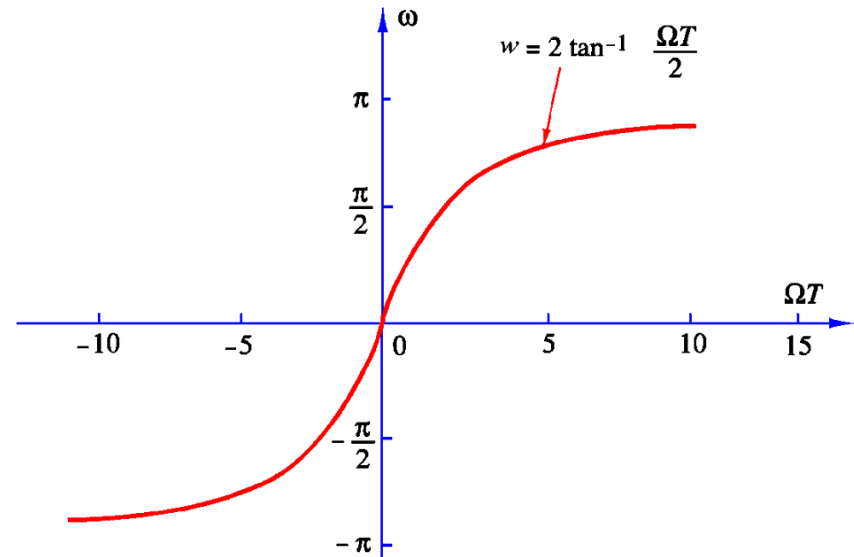
■ Correspondencia plano $s \leftrightarrow z$...

■ $r = 1 \Rightarrow \sigma = 0$:

$$\sigma = \frac{2}{T} \left(\frac{r^2 - 1}{1 + r^2 + 2r \cos \omega} \right)$$

Se tiene,

- $\Omega = \frac{2}{T} \tan \left(\frac{\omega}{2} \right)$
- $\omega = 2 \tan^{-1} \left(\frac{\Omega T}{2} \right)$
- **Relación** entre frecuencia análoga Ω y digital ω .



■ Correspondencia plano $s \leftrightarrow$ plano z ...

- El rango de $-\infty \leq \Omega \leq \infty$ se corresponde unívocamente con el rango $-\pi \leq \omega \leq \pi$
- Correspondencia no lineal \Rightarrow compresión o *deformación de frecuencia*.
- El punto $s = \infty$ corresponde con el punto $z = -1$
- Un filtro analógico con un cero en $s = \infty$ resulta en un filtro digital con un cero en $z = -1$

■ **Ejemplo 1.** Convertir el filtro analógico dado en un filtro IIR digital por medio de la transformación **bilineal**.

- El filtro digital debe presentar una frecuencia resonante $\omega_r = \pi / 2$, que coincida con $\Omega_r = 4$.

$$H_a(s) = \frac{s + 0.1}{(s + 0.1)^2 + 16}$$

■ Solución

- De la relación entre frecuencias, se obtiene T.

$$\Omega_r = \frac{2}{T} \tan \frac{\omega_r}{2} \Rightarrow T = \frac{1}{2}$$

■ Solución...

- Reemplazando el valor de T en la transformación bilineal se obtiene la correspondencia deseada,

$$s = \frac{2}{T} \left(\frac{1 - z^{-1}}{1 + z^{-1}} \right) \Rightarrow s = 4 \left(\frac{1 - z^{-1}}{1 + z^{-1}} \right)$$

- El filtro digital resultante tiene la función de transferencia,

$$H(z) = \frac{0.128 + 0.006z^{-1} - 0.122z^{-2}}{1 + 0.0006z^{-1} + 0.975z^{-2}}$$

- Los polos son: $z_{p_{1,2}} = 0.0003 \pm j0.87 = 0.987e^{\pm j90.02^\circ}$

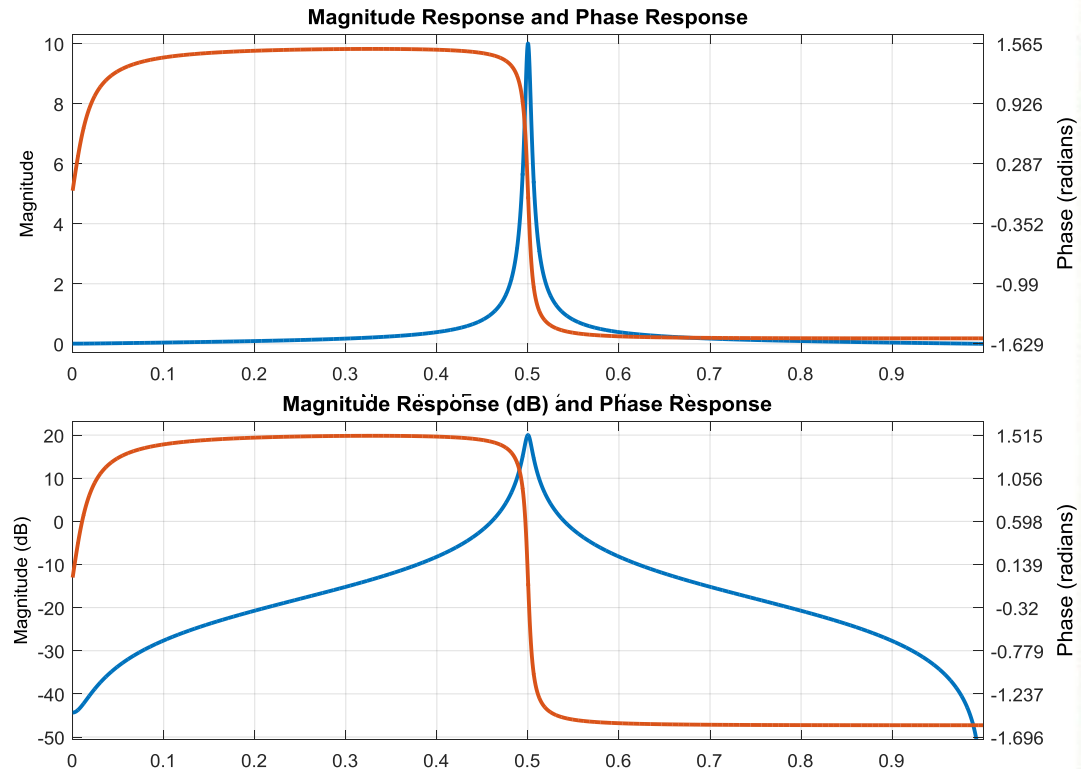
Filtros IIR: Transformación Bilineal



■ Solución...

Transf_Bilinear_IIR.m

```
clc;clear all; close all;  
%Polinomio Numerador  
b0= 0.128 ; b1=0.006; b2=-0.122;  
b= [b0 b1 b2];  
%Polinomio Denominador  
a0=1; a1=0.0006; a2=0.975;  
a=[a0 a1 a2];  
%Polos  
polos=roots(a)  
AngPolos=angle(polos)*180/pi  
MagPolos=abs(polos)  
%freqz(b,a)  
fvtool(b,a)
```



■ Ejemplo 2.

- Usando la transformación bilineal, diseñe un filtro digital paso bajo de un polo simple con ancho de banda de 3 dB en $w_c = 0.2 \pi$.

$$H_a(s) = \frac{\Omega_c}{s + \Omega_c}$$

donde Ω_c es el ancho de banda de 3 dB del filtro analógico.

■ Solución

- En el dominio frecuencial, $w_c = 0.2 \pi$ se corresponde con,

$$\Omega_c = \frac{2}{T} \tan(0.1\pi) = \frac{0.65}{T}$$

■ Solución...

- Por lo que el filtro tiene la función de transferencia,

$$H(s) = \frac{0.65/T}{s + 0.65/T}$$

- Aplicando la transformación bilineal, se obtiene el filtro digital,

$$H(z) = \frac{0.245(1 + z^{-1})}{1 - 0.509z^{-1}}$$

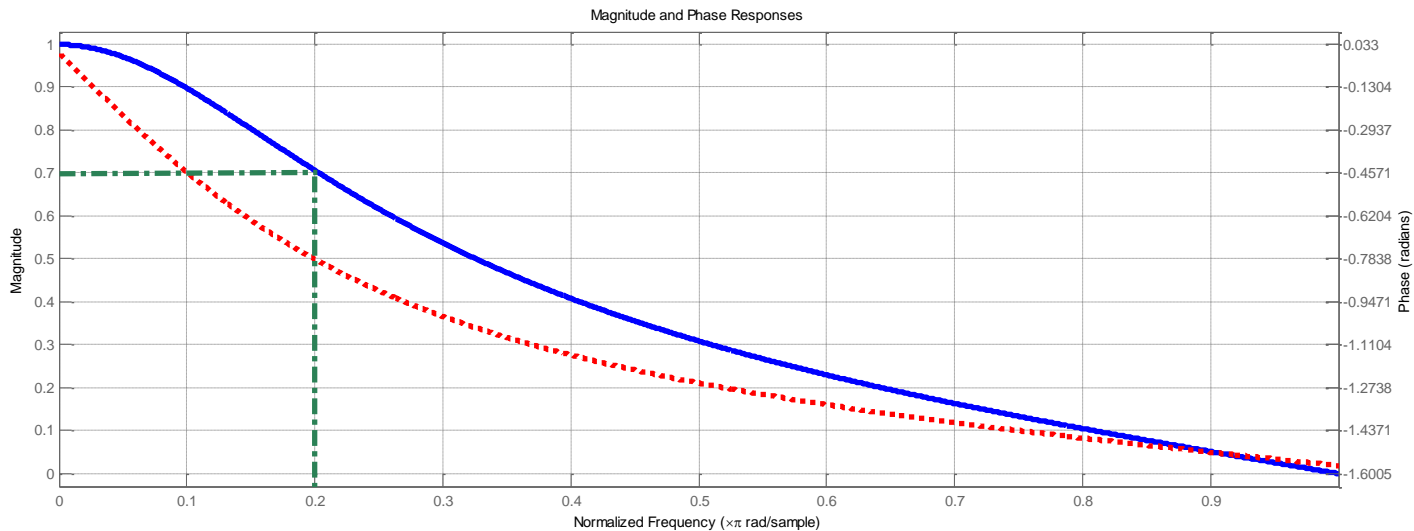
- Verificando, la respuesta en frecuencia:

$$H(w) = \frac{0.245(1 + e^{-jw})}{1 - 0.509e^{-jw}} \Rightarrow H(w = 0) = 1, \quad H(w = 0.2\pi) = 0.707$$

■ Solución...

- Verificando, la respuesta en frecuencia:

$$H(w) = \frac{0.245(1 + e^{-jw})}{1 - 0.509e^{-jw}} \Rightarrow H(w=0) = 1, \quad H(w=0.2\pi) = 0.707$$



■ Observaciones Generales

- En las transformaciones de filtros el parámetro T puede asignársele cualquier valor ...
 - Si las especificaciones del filtro analógico se calculan a partir de las especificaciones en el dominio digital.
 - En este caso, T se cancela en la conversión del filtro analógico a digital.
- La fase de los filtros analógicos generalmente se distorsionan al transformarse al dominio discreto.
 - Ej: Los filtros Bessel analógicos tienen fase lineal pero el filtro discreto transformado no conserva esta linealidad en la fase.

■ Introducción

- Algunas técnicas para el diseño de filtros IIR implican la **conversión** de un filtro **analógico** en **digital** mediante **correspondencias** del plano s al plano z .
- Los métodos de **mínimos cuadrados** permiten **diseñar** los filtros digitales directamente en los dominios **temporal** y **frecuencial**.

■ Aproximación de Padé

- El filtro que se va a diseñar presenta la función de transferencia,

$$H(z) = \frac{\sum_{k=0}^M b_k z^{-k}}{1 + \sum_{k=1}^N a_k z^{-k}} = \sum_{n=0}^{\infty} h(n) z^{-n}$$

- notar que:
 - $a_0 = 1$
 - $h(n)$ es la respuesta impulsional del filtro.

■ Aproximación de Padé...

■ Criterio de error:

- Minimizar la suma ε de los errores al cuadrado entre $h(n)$ del filtro resultante y la respuesta deseada $h_d(n)$.

$$\varepsilon = \sum_{n=0}^U [h_d(n) - h(n)]^2$$

- El filtro presenta $L = M + N + 1$ parámetros: $\{a_k\}$ y $\{b_k\}$
- Los coeficientes se seleccionan para satisfacer el criterio de optimización del error.

■ Aproximación de Padé...

- En general $h(n)$ es una función *no lineal* de los parámetros del filtro.
- La solución involucra ecuaciones *no lineales* para minimizar ε .
- Si se selecciona el límite superior como $U = L - 1$, es posible ajustar $h(n)$ **perfectamente** a $h_d(n)$ para $0 \leq n \leq M + N$.
- La ecuación en diferencias para el filtro deseado es,

$$\begin{aligned} &y(n) \\ &= -a_1 y(n-1) - a_2 y(n-2) - \dots - a_N y(n-N) + b_0 x(n) + b_1 x(n-1) \\ &+ b_2 x(n-2) + \dots + b_M x(n-M) \end{aligned}$$

■ Aproximación de Padé...

- Con $x(n) = \delta(n)$, la respuesta del filtro es $y(n) = h(n)$, por lo que:

$$h(n) = -a_1 h(n-1) - a_2 h(n-2) - \cdots - a_N h(n-N) \\ + b_0 \delta(n) + b_1 \delta(n-1) + \cdots + b_M \delta(n-M)$$

Recordando que $\delta(n-k) = 0$ excepto para $k = n$,

- se tiene para $0 \leq n \leq M$

$$h(n) = -a_1 h(n-1) - a_2 h(n-2) - \cdots - a_N h(n-N) + b_n \quad [ec.1]$$

- y para $n > M$ se obtiene:

$$h(n) = -a_1 h(n-1) - a_2 h(n-2) - \cdots - a_N h(n-N) \quad [ec.2]$$

■ Aproximación de Padé...

■ Procedimiento

Usando el conjunto de ecuaciones lineales [ec.1] y [ec.2] se puede hacer que $h(n) = h_d(n)$ para $0 \leq n \leq M + N$.

- **Paso 1:** Encontrar $\{a_k\}$ haciendo $h(n) = h_d(n)$ en [ec. 2] ($M < n \leq M + N$)
- **Paso 2:** Con los $\{a_k\}$ encontrados, determinar $\{b_k\}$ a partir de [ec. 1] ($0 \leq n \leq M$)

■ Aproximación de Padé...

■ Observaciones

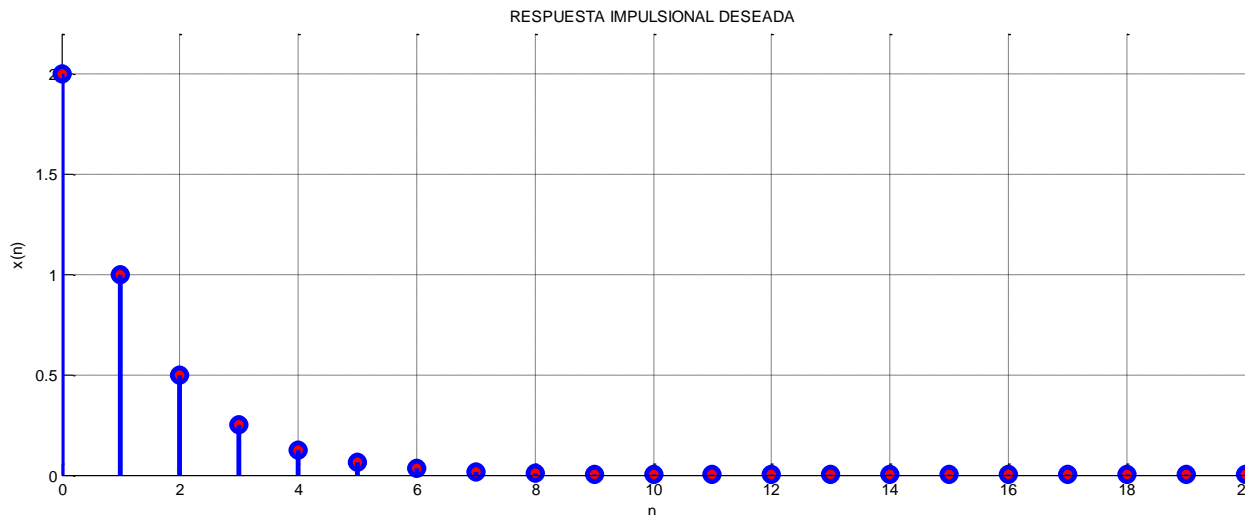
El grado con que la técnica de Padé produce filtros aceptables depende del número de coeficientes del filtro seleccionado.

- $h_d(n)$ sólo se ajusta hasta el número de parámetros del filtro.
- Cuanto más complejo el filtro, mejor será la aproximación.
- Para mejorar la aproximación, el filtro debe poseer un gran número de polos y ceros.
- La técnica requiere ensayar varios valores de M y N para obtener un filtro que converja a la respuesta deseada.

■ Ejemplo

- Use el método de aproximación de Padé para diseñar un filtro si se sabe que la respuesta impulsional deseada es:

$$h_d(n) = \{ \underline{2}, 1, 1/2, 1/4, 1/8, 1/16, 1/32, 1/64, 1/128, \dots \}$$



■ Solución

- Suponiendo $N = 1$ y $M = 1$, la función de Transferencia es:

$$H(z) = \frac{b_0 + b_1 z^{-1}}{1 + a_1 z^{-1}}, \quad a_0 = 1$$

- Con $\delta(n)$ como entrada a $H(z)$, se obtiene la salida $y(n) = h(n)$

$$h(n) = -a_1 h(n-1) + b_0 \delta(n) + b_1 \delta(n-1)$$

■ Solución...

■ Paso 1: Para $n > M$,

$$n = 2 \Rightarrow h(2) = -a_1 h(1)$$

$$\text{con } h_d(2) = 1/2, \quad h_d(1) = 1 \Rightarrow a_1 = -1/2$$

■ Paso 2: Para $0 \leq n \leq M$

$$n = 0 \Rightarrow h(0) = (1/2)h(-1) + b_0$$

$$\text{con } h_d(0) = 2, \quad h_d(-1) = 0 \Rightarrow b_0 = 2$$

$$n = 1 \Rightarrow h(1) = (1/2)h(0) + b_1$$

$$\text{con } h_d(0) = 2, \quad h_d(1) = 1 \Rightarrow b_1 = 0$$

■ Solución...

- El filtro resultante es:
$$H(z) = \frac{2}{1 - \frac{1}{2}z^{-1}}$$

- Su respuesta impulsional es:

$$h(n) = 2\left(\frac{1}{2}\right)^n u(n) \qquad h(n) = \frac{1}{2}h(n-1) + 2\delta(n)$$

- **Observación:** La secuencia deseada

$$h_d(n) = \{ \underline{2}, 1, 1/2, 1/4, 1/8, 1/16, 1/32, 1/64, 1/128, \dots \}$$

coincide exactamente con:
$$h_d(n) = 2(1/2)^n u(n),$$

■ Ejemplo 2

- Desarrolle un **programa** en Matlab para implementar el método de Padé para el diseño de filtros Digitales.
 - El programa debe calcular los coeficientes del filtro y la respuesta en frecuencia
- Pruébelo para la siguiente respuesta impulsional prototipo:

$$h_d(n) = \{ \underline{0.2} \quad 0.32 \quad 0.192 \quad 0.1152 \quad 0.0691 \quad 0.0415 \quad 0.0249 \quad 0.0149 \quad 0.009 \quad 0.0054 \quad 0.0032 \}$$

- Indique qué tipo de filtro se obtuvo y la frecuencia de corte.

■ Solución

Pade_general.m

```
clc; close all; clear all;

% Respuesta h(n): Se supone que el primer valor corresponde a h(0).
% num H(z)= b0+ b1 z^(-1) +...+ bM z^(-M)
% den H(z)= 1 + a1 z^(-1) +...+ aN z^(-N)
h=[0.2  0.32 0.192 0.1152 0.0691 0.0415 0.0249 0.0149 0.009 0.0054 0.0032 ];
M=3;N=3;

%PASO 1: Evaluar n>M para encontrar los coeficientes ai i=0-->N; a0=1
for x=1:1:N
    for y=1:1:N
        A(x,y)=-h(N-y+x+1);
        %El uno es para hacer coincidir la notación según índices en matlab.
    end
    b(x)=h(N+x+1);
end
```

■ Solución ...

```
%Coeficientes ai (i=0,2,..N)

%Calculo de coeficientes desde i=1-->N; siempre a0=1

% Determinar si la matriz A es singular
prueba= inv(A);
if (prueba==Inf | prueba==NaN )
    coef_a=pinv(A)*b' ; % si es singular, forma alterna de calcular solución
else
    coef_a=A\b' ;
end

disp(['Coeficientes ai, i=0-->' num2str(N)])
aa=[1 coef_a']
```

■ Solución ...

```
% PASO 2:  Evaluar 0 <= n <= M para encontrar los coeficientes bi ; i=0,..M
bb(0+1)=h(0+1);
for k=1:M
    c=h(k+1);
    for j=1:k
        c=c+coef_a(j)*h(k-j+1);
    end
    bb(k+1)=c;
end
disp(['Coeficientes bi, i=0-->' num2str(M)  ])
bb
```

■ Solución

% Respuesta en frecuencia

```
[H,w]=freqz (bb, aa );
```

% Frecuencia de corte

```
ind_wc1=find(abs(H)>(1/sqrt(2)),1,'last');
```

```
ind_wc2=find(abs(H)<(1/sqrt(2)),1,'first');
```

```
if abs(abs(H(ind_wc1))-1/sqrt(2))< abs(abs(H(ind_wc1))-1/sqrt(2))
```

```
    ind_wc=ind_wc1;
```

```
else
```

```
    ind_wc=ind_wc2;
```

```
end
```

```
wc=w(ind_wc)
```

■ Solución

% Graficación

```
subplot(2,1,1); plot(w,abs(H)); grid on;
title ( ['Respuesta en Frecuencia- Aprox. Padé.  M= ' num2str(M) '  N= '
num2str(N)] )
xlabel('w'); ylabel('|H(w)|');
text(w(ind_wc), abs(H(ind_wc)), '\leftarrow wc', 'HorizontalAlignment', 'left')
```

```
subplot(2,1,2); plot(w,angle(H)); grid on;
title ( ['Frecuencia de corte wc=' num2str(wc)] );
xlabel('w'); ylabel('Fase(w)');
```

% Respuesta impulsional deseada

```
figure
stem(0:1:length(h)-1,h); grid on;
xlabel('n'); ylabel('h(n)');
```


■ Solución ...

$$M = N = 3$$

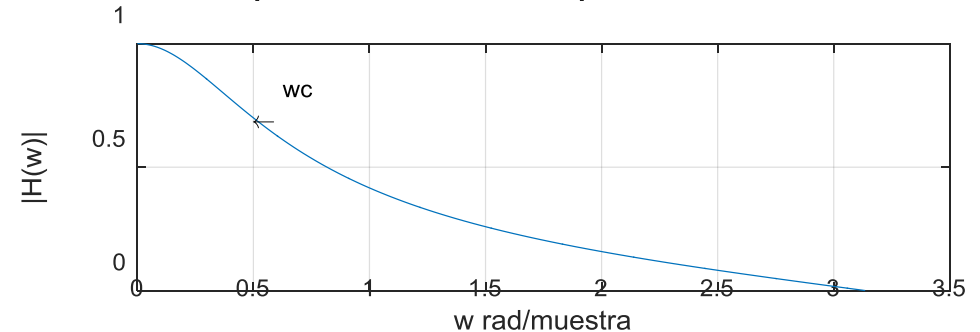
$$a_i = 1.0 \quad 2.0 \quad 4.0 \quad -3.3359$$

$$b_i = 0.20 \quad 0.72 \quad 1.632 \quad 1.112$$

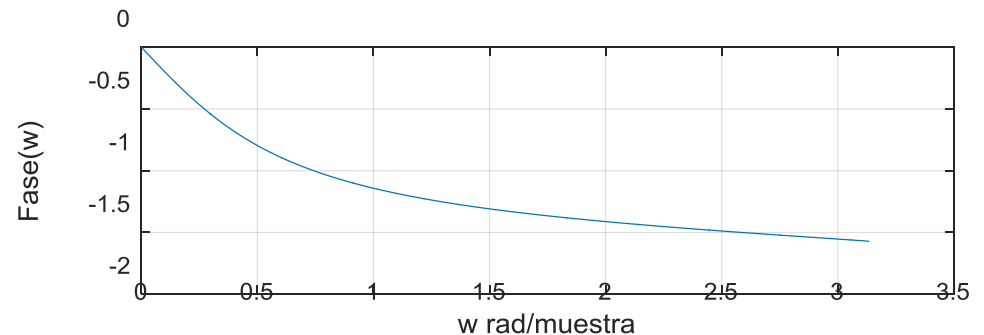
Paso bajo

$$\omega_c = 0.4909 \text{ rad/m}$$

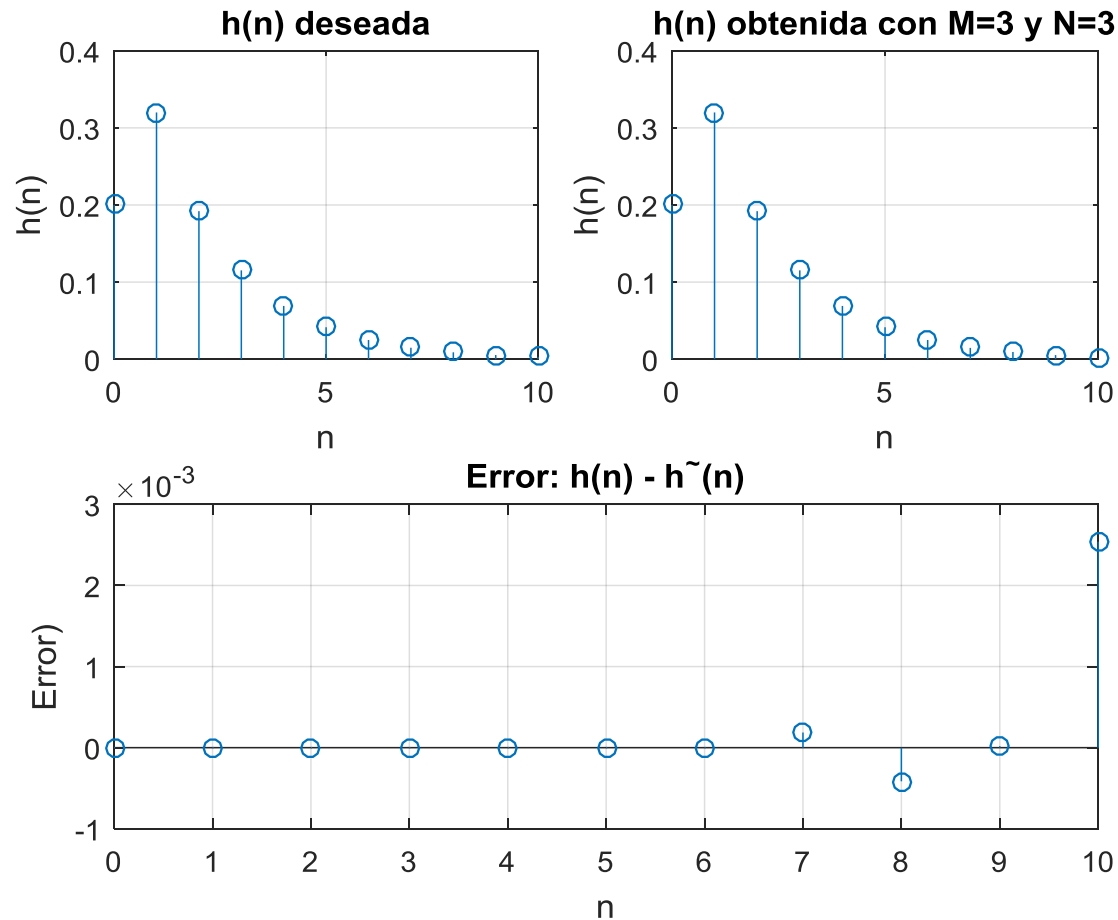
Respuesta en Frecuencia- Aprox. Padé. $M=3$ $N=3$



Frecuencia de corte $w_c=0.49087$



■ Solución



■ Observación

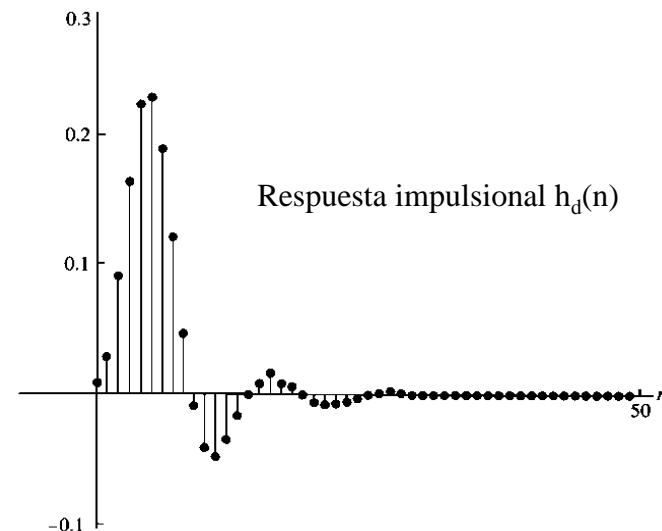
- La aproximación de Padé resulta en un **ajuste perfecto** a $H_d(z)$ cuando la función de transferencia deseada es *racional* y se **conocen *a priori*** el número de polos y ceros del sistema.
- Generalmente lo anterior no es el caso, ya que $h_d(n)$ se determina a partir de algunas especificaciones de $H_d(w)$.
 - En estos casos, la aproximación de Padé puede **NO** resultar en un buen diseño del filtro.

■ Efecto de la selección de los valores de M y N

- Considerar el filtro Butterworth de cuarto orden dado por,

$$H_d(z) = \frac{4.8334 \times 10^{-3} (z + 1)^4}{(z^2 - 1.3205z + 0.6326)(z^2 - 1.0482z + 0.2959)}$$

- Con respuesta impulsional:



■ Efecto de la selección de los valores de M y N ...

- Aproximación de Padé para diferentes valores de de polos (N) y ceros (M).
- $\{M, N\} < 4$, la aproximación es pobre.
- $M \geq 4$ se obtiene una muy buena aproximación.
- $M > 4$ se puede obtener un buen resultado, incluso para $N < 4$.

